### Физико-химические особенности технологических процессов в машиностроении

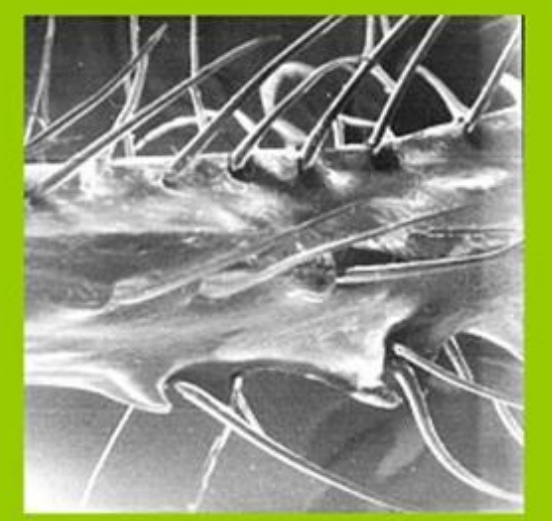
Проф., д.т.н. Скотникова Маргарита Александровна Skotnikova@mail.ru

Санкт-Петербургский политехнический университет Петра Великого

Кафедра "Машиноведение и основы конструирования" ИММиТ САбПУ







x 10000



x 1

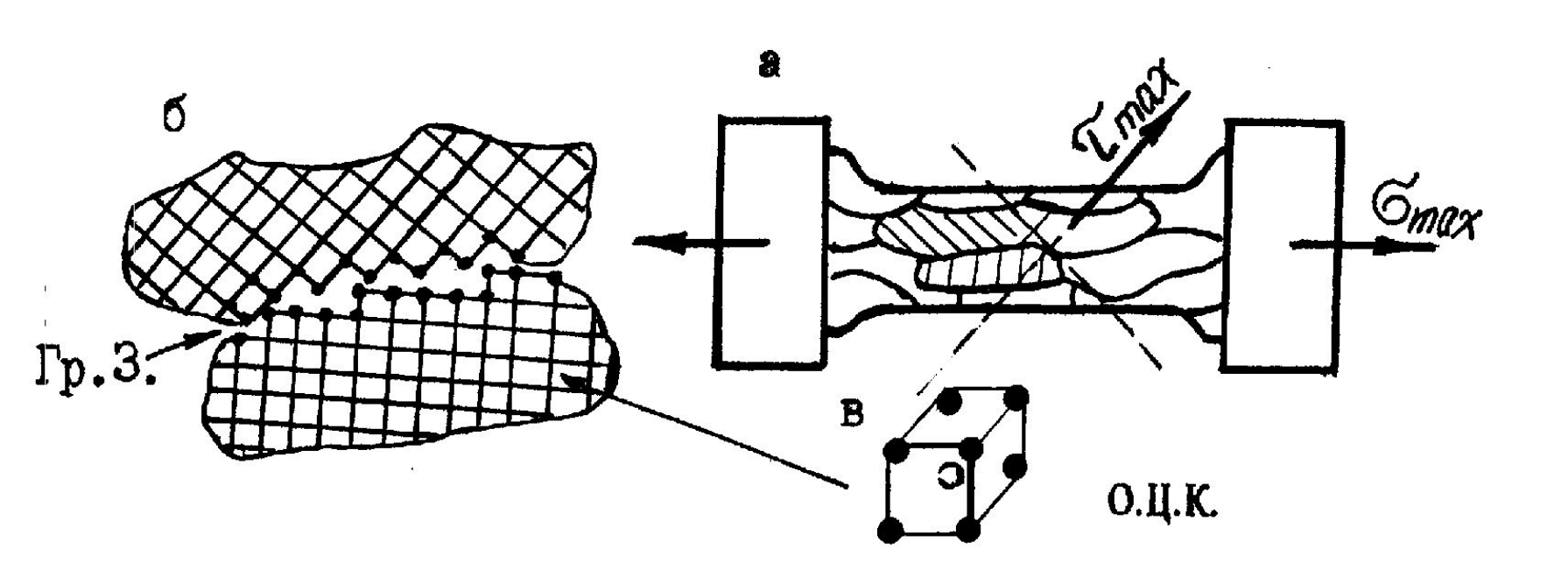
x 100

# **Тема 1.** Общее понятие напряженно – деформированного состояния деталей машин из металлических материалов, применяемых в машиностроении.

#### Содержание:

- 1. Современная классификация структурных уровней и методов исследования.
- 2. Физические методы исследования.
- Растровая и просвечивающая электронная микроскопия; рентгеноструктурный и спектральный анализ; дилатометрические, калориметрические исследования.
- Микродифракционный анализ строения кристаллической решетки фаз.
- Анализ химического состава фаз и перераспределения легирующих элементов.
- 3. Идеальная и реальная кристаллическая структура металлов. Дефекты их кристаллического строения.
- 4. Диаграммы растяжения. Физическая сущность и значение основных характеристик механических свойств, определяемых по методу испытания образцов на растяжение.
- 5. Прочность металлов и сплавов как совокупная характеристика деформационного, структурного, фазового и твердорастворного упрочнения с учетом влияния структурных уровней

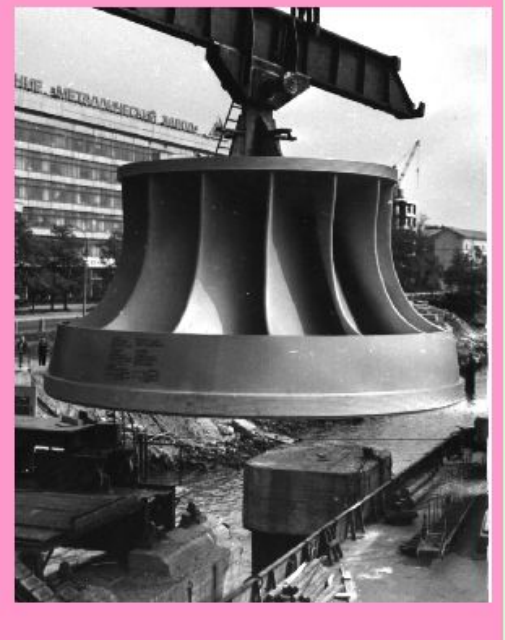
# 1.2. Современная классификация структурных уровней



- Общий вид детали (х 30 крат) Макроуровень
- Отдельное зерно (х 1000 крат) Микроуровень
- Атомно-кристаллическое строение (х 100000 крат) Субмикроуровень

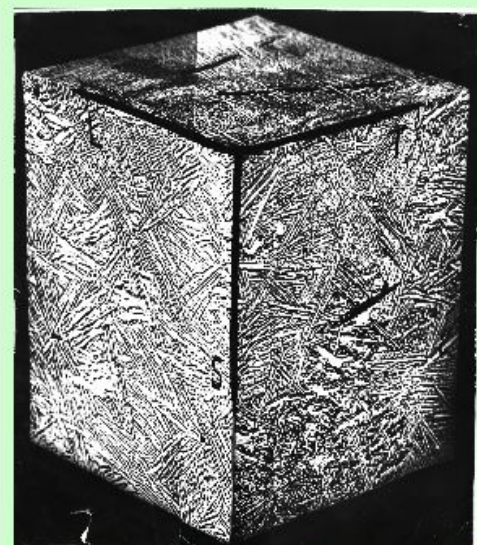
#### СТРУКТУРНЫЕ УРОВНИ И МЕТОДЫ ИССЛЕДОВАНИЯ

Макро – уровень



ПЭМ РЭМ МРСА Микро - уровень

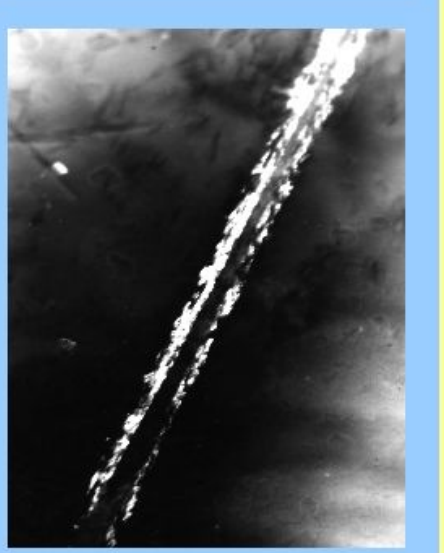




X 1000

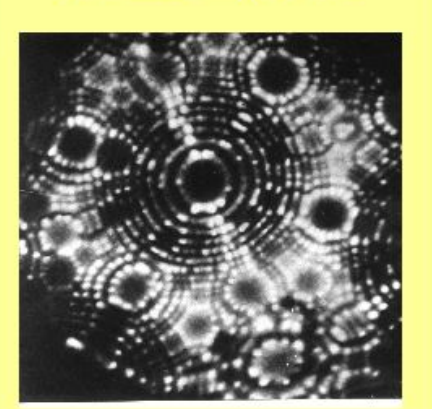
Субмикро – уровень





X 24000

Атомный – уровень

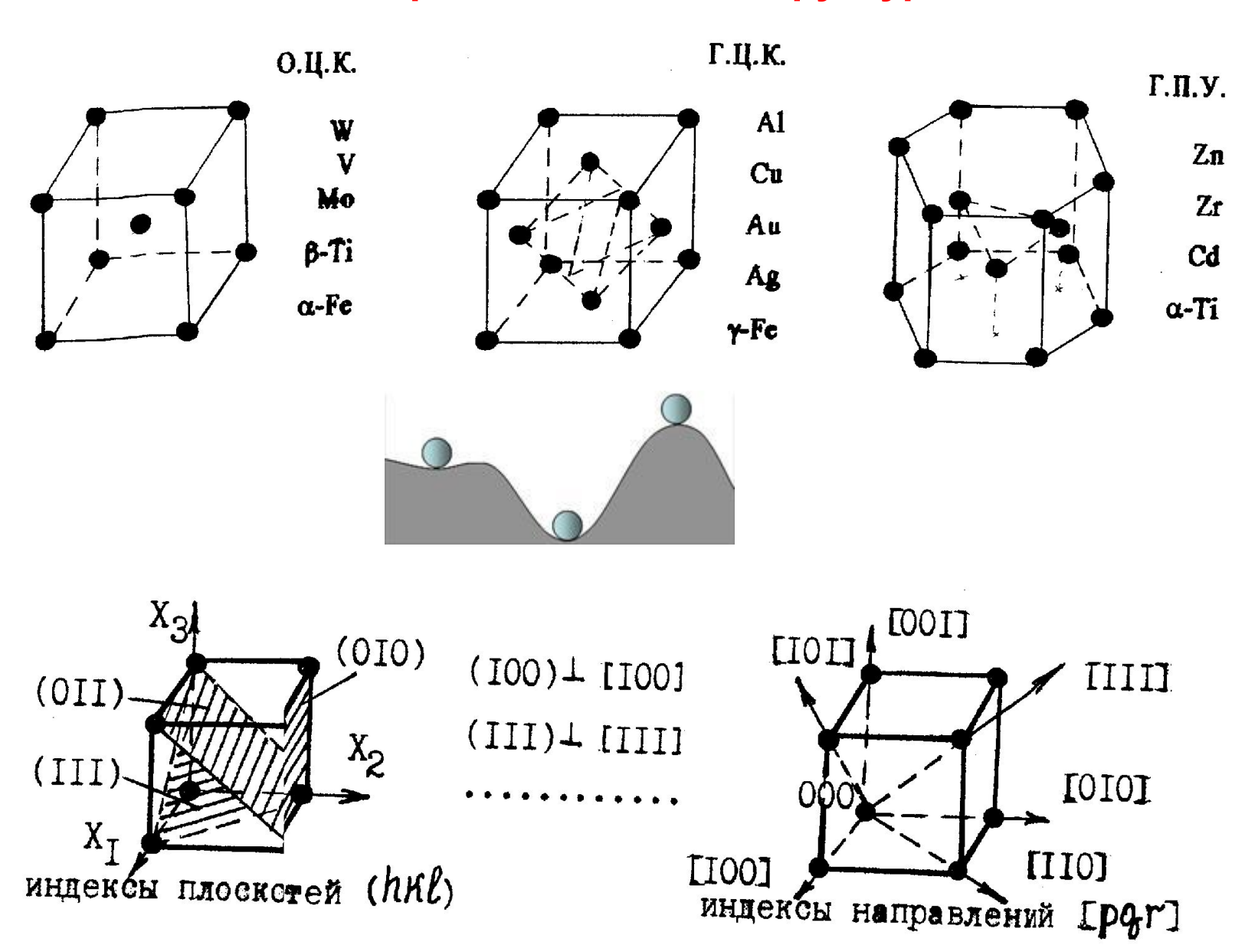




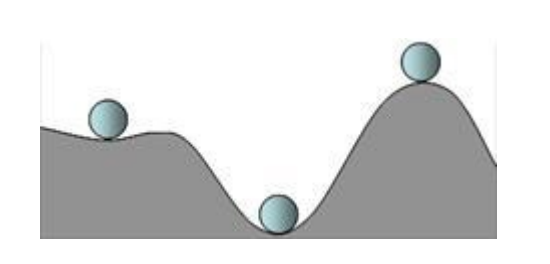


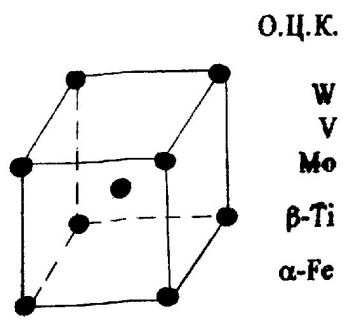
X 1

#### 1.2. Идеальная кристаллическая структура металлов

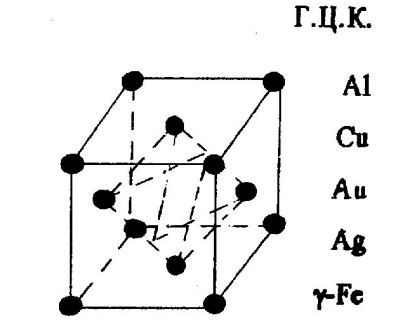


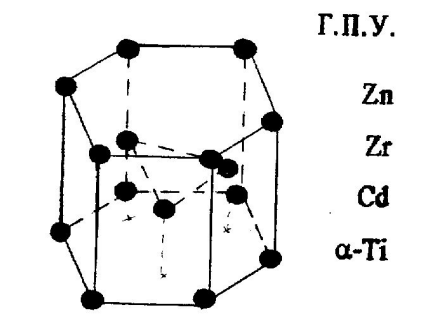
#### 1.2. Идеальная кристаллическая структура металлов





(**6**)









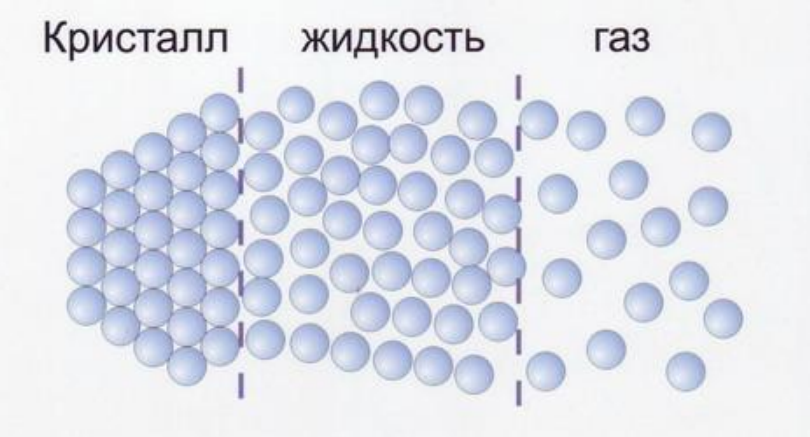


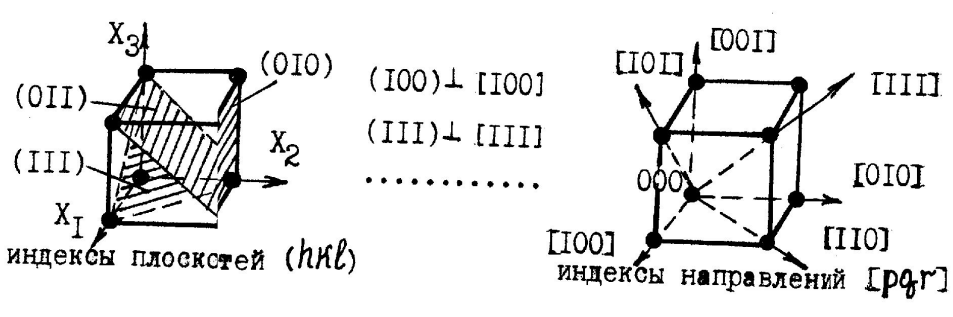


IIIII

IOIOI





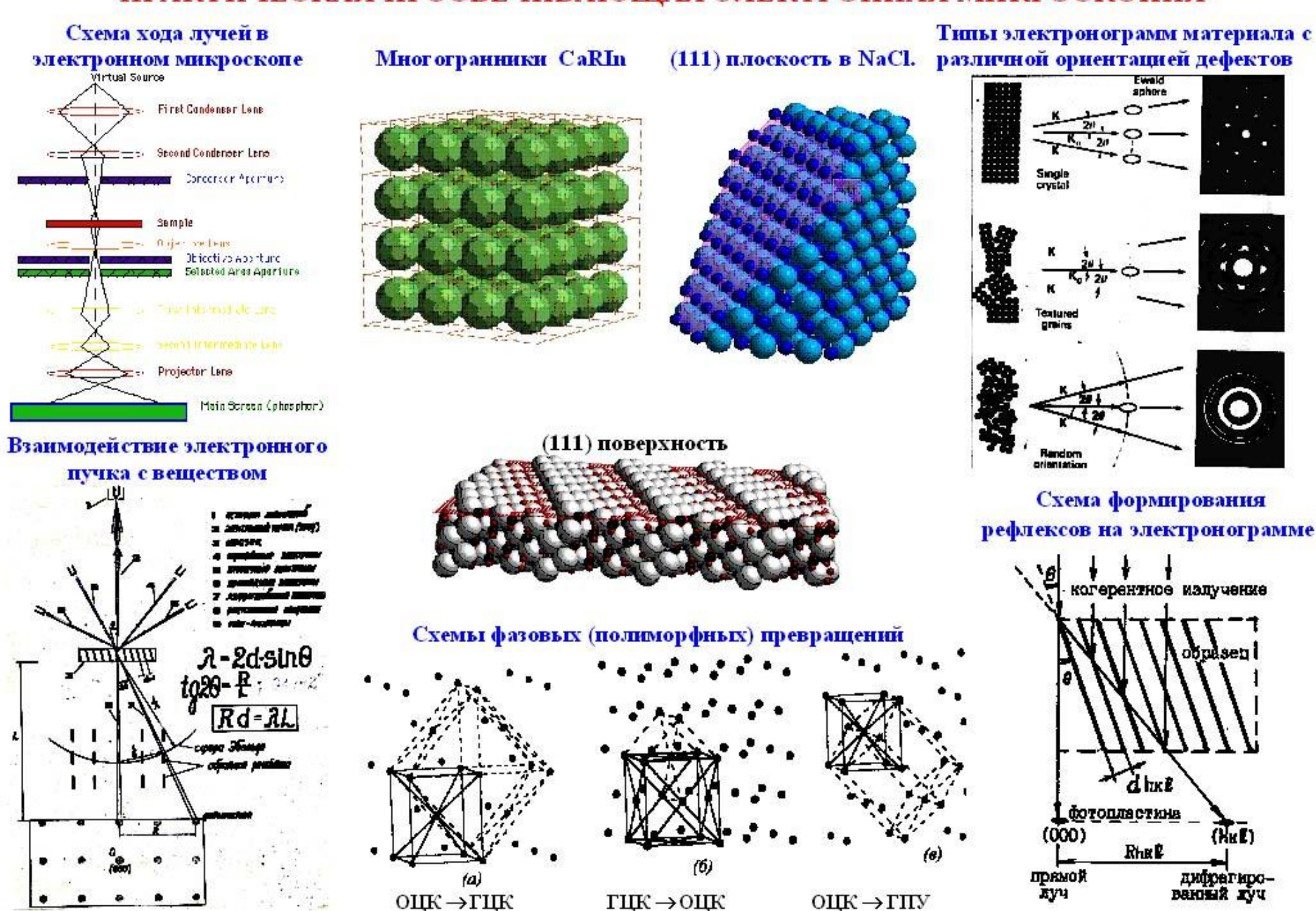


#### Количественные характеристики кристаллической решётки

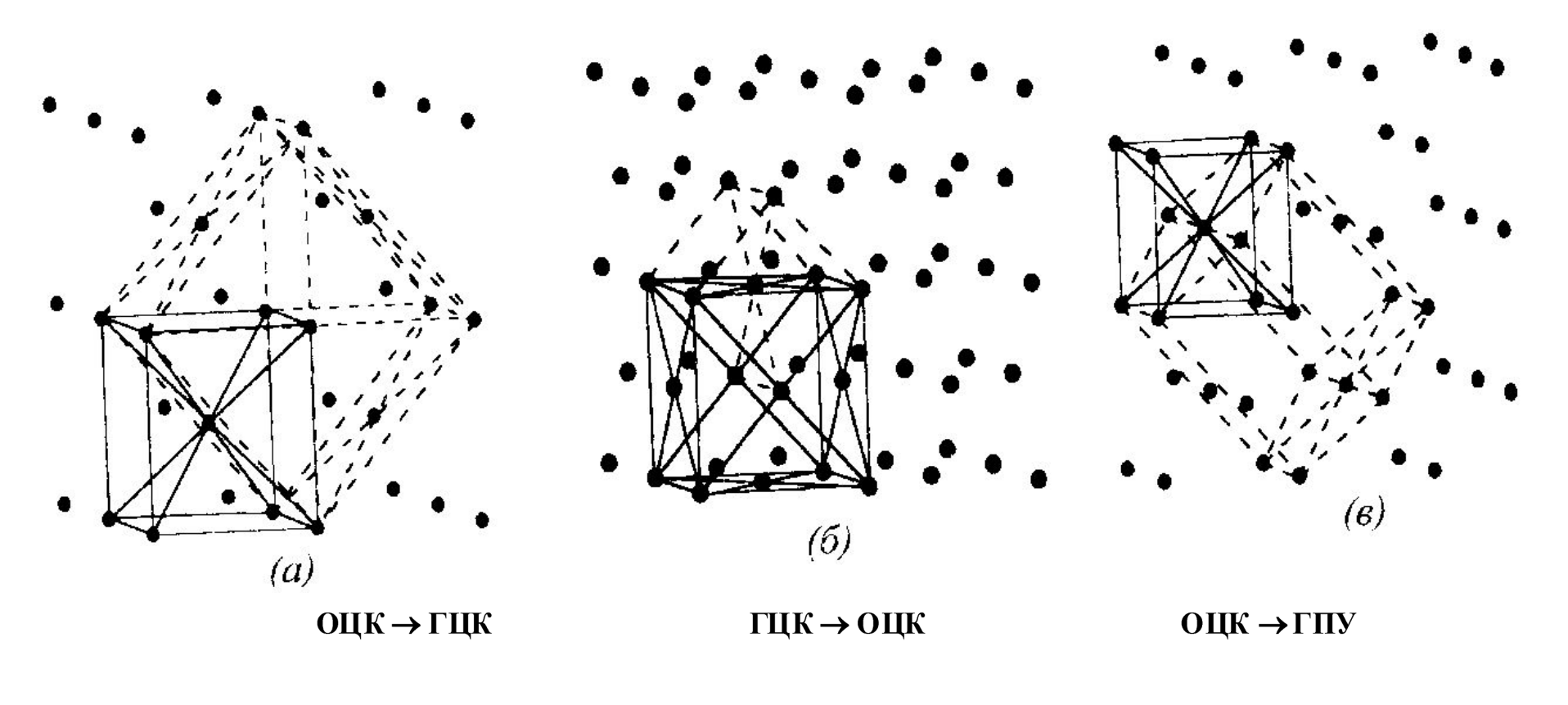
- **Период решетки (а,b,c)** расстояние между центрами 2-ух соседних частиц (атомов, ионов).
- *Координационное число (К)* число атомов, которые находятся на наиболее близком и равном расстоянии о любого атома решетки.
- *Базис решетки (Б)* количество атомов, приходящихся на 1 элементарную ячейку решетки.
- Коэффициент компактности (η) отношение объема, занимаемого атомами, ко всему объему решетки
- Размеры пор: октаэдрические (П6), тетраэдрические (П4)
- Наиболее плотно-упакованные плоскости {hkl}.

No	Обозначение	ГЦК	ОЦК	ГПУ
1	a,b,c	a,b,c	a,b,c	a,b,c
2	K	12	8	12
3	Б	4	2	6
		1/8.8+1/2.6=4	1/8.8+1=2	1/6·12+1/2·2+3
				=6
4	η	74%	68 <b>%</b>	74%
	$II_6$	0,41 r	0,154 r	0,41 r
5	$oldsymbol{arPi_4}$	0,225 r	0,291 r	0,225 r
6	{hkl}	{111},<110>	{110},<111>	{0001},<11-
				20>

#### ПРАКТИЧЕСКАЯ ПРОСВЕЧИВАЮЩАЯ ЭЛЕКТРОННАЯ МИКРОСКОПИЯ



#### Полиморфные превращения



- 1 группа OЦК  $\rightarrow$  ГЦК (Fe, Mn, Cd, La, Yb);
- 2 группа  $\Gamma\Pi Y \rightarrow O L K$  (Ti, Zr, Hf, Tl, Gd);
- 3 группа  $\Gamma\Pi Y \rightarrow \Gamma \mathsf{L}\mathsf{K}$  (Co, Tb, Sr).

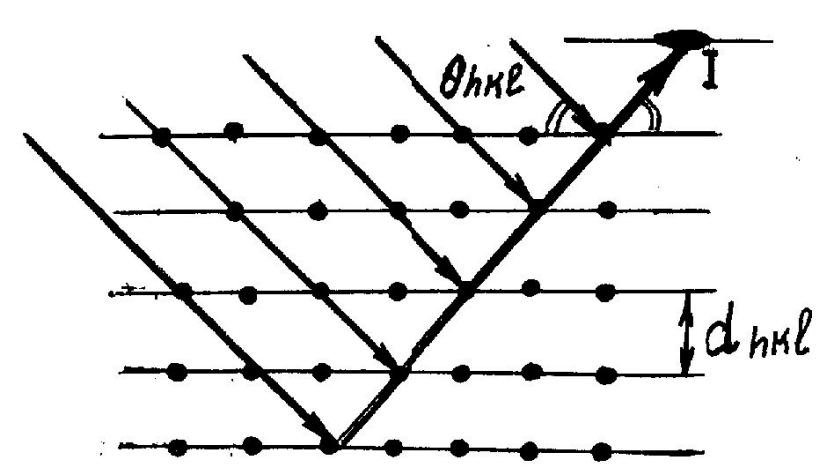
#### Микродифракционная картина

Когерентное излучение с

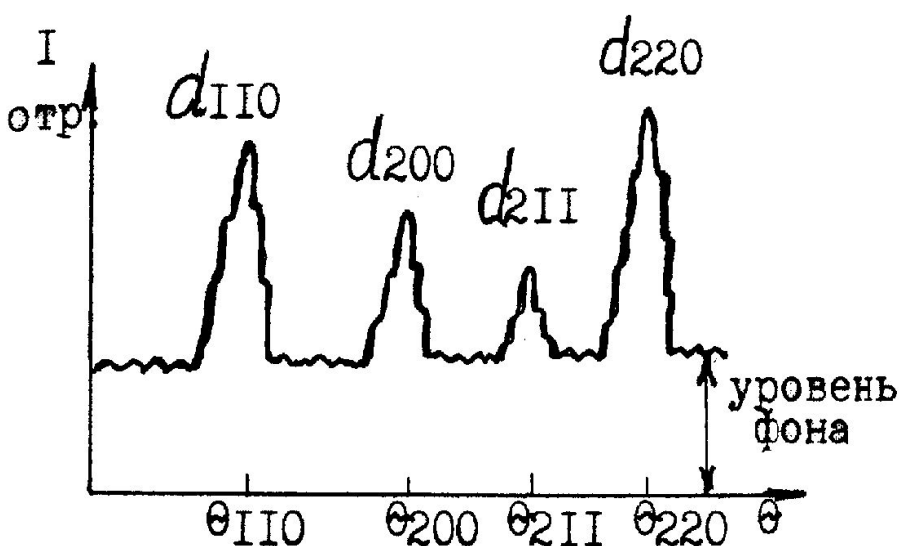
Рефлекс (отражение) на фотопластине длиной волны λ

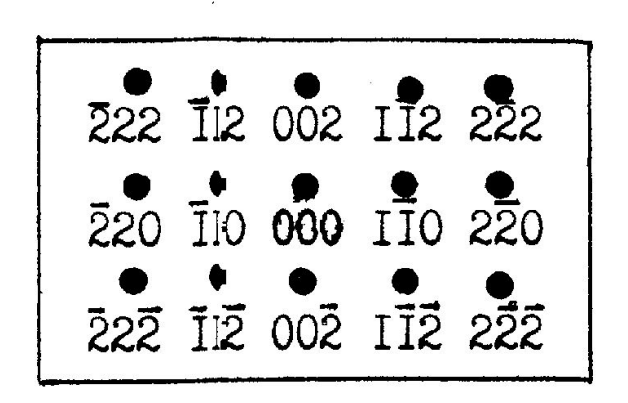
Рис.5.

#### nλ=2·dhklsinθhkl







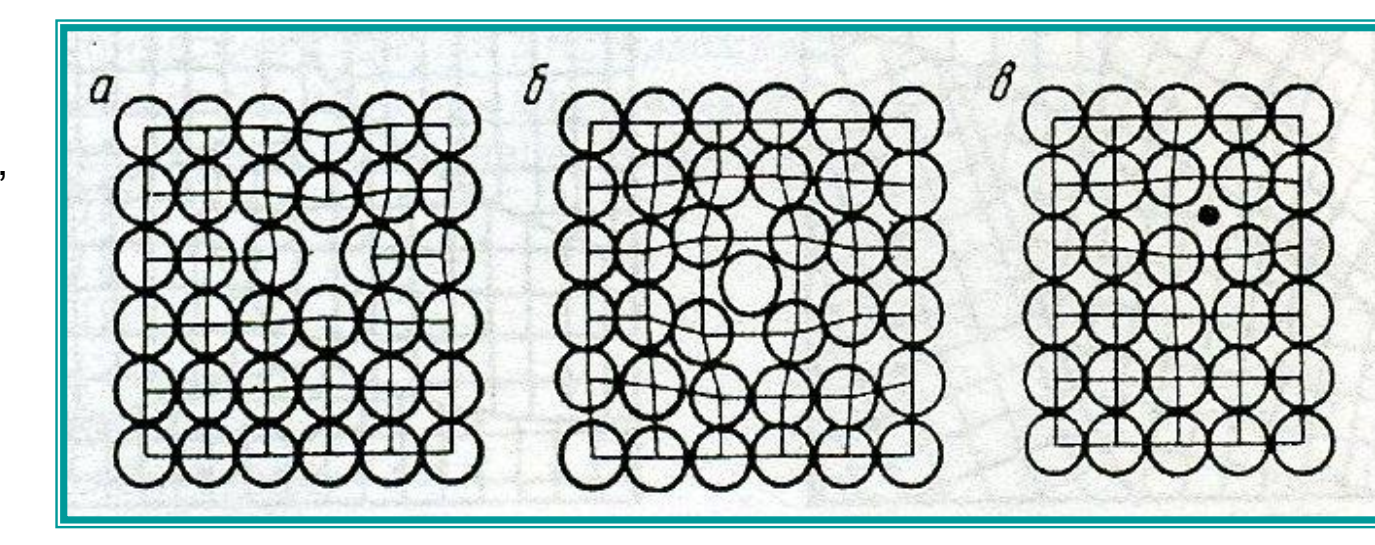


#### 1.3. Реальная структура металлов. Дефекты кристаллического строения

- Классификация дефектов.
- 1. Точечные –
- вакансии, вакансионные комплексы, межузельные атомы, пары Френкеля (вакансия-межузельный атом), атомы замещения и др.
- 2. *Линейные* дислокации (краевые, винтовые).
- 3. *Поверхностные* границы зерен, блоков, двойников, фаз, дефекты упаковки.
- 4. Объемные –
- поры.

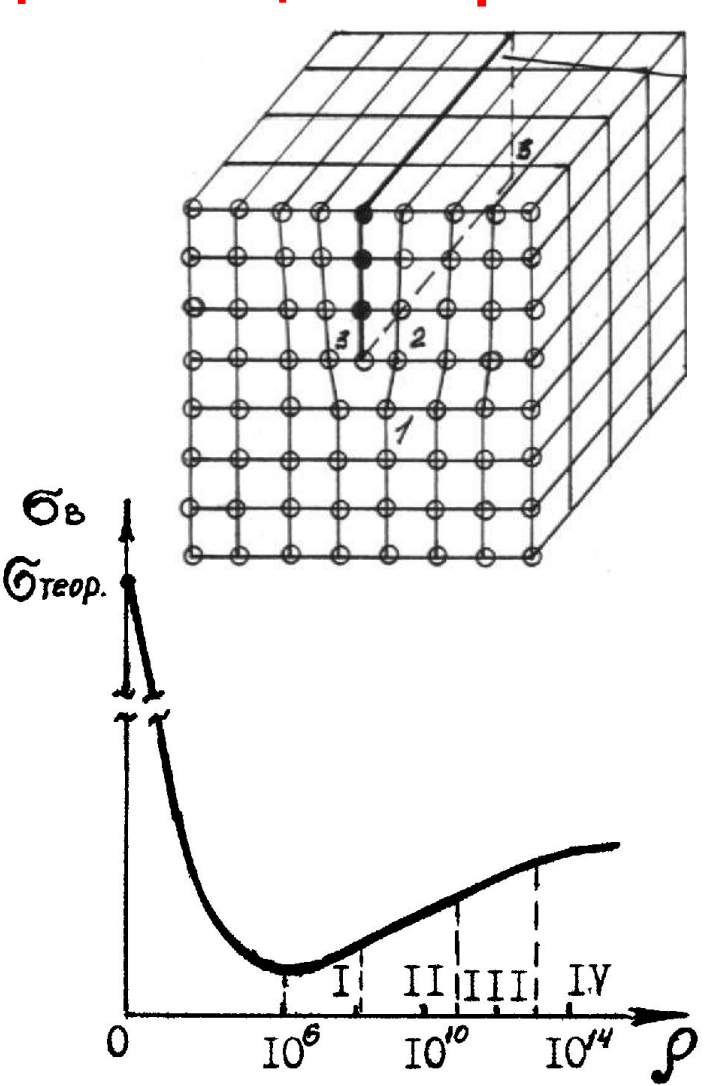
Точечные дефекты в кристаллической решетке:

- а) вакансия
- б) элемент замещения
- в) элемент внедрения



#### Реальная структура металлов. Дислокации в кристалле

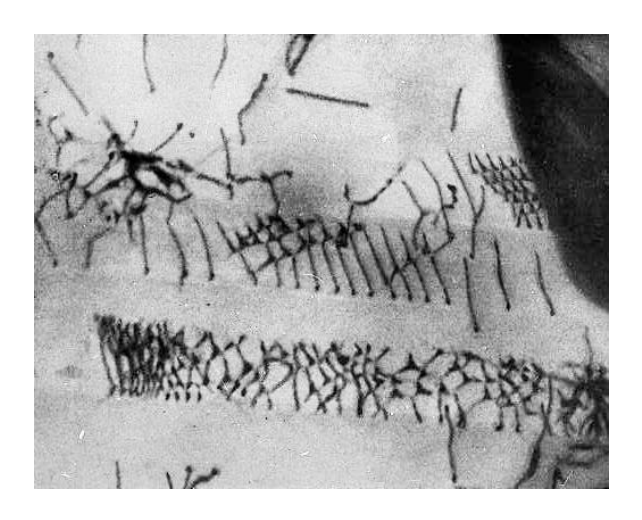
- Классификация дефектов.
- 1. Точечные –
- вакансии, вакансионные комплексы, межузельные атомы, пары Френкеля (вакансия-межузельный атом), атомы замещения и др.
- 2. *Линейные* дислокации (краевые, винтовые).
- З. Поверхностные границы зерен, блоков, двойников, фаз, дефекты упаковки.
- 4. Объемные –
- поры.

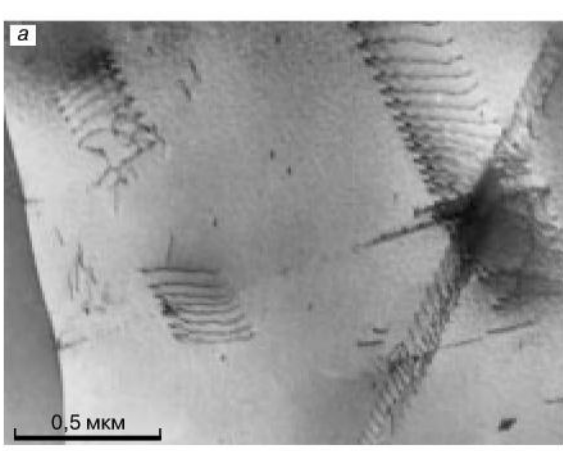


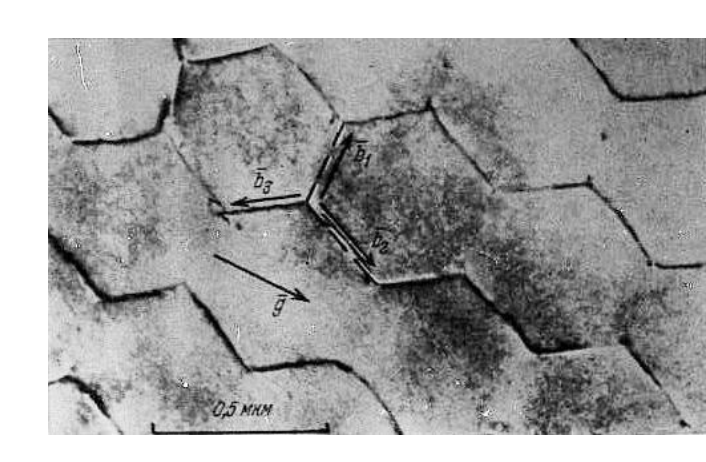
#### • Плотность дислокаций

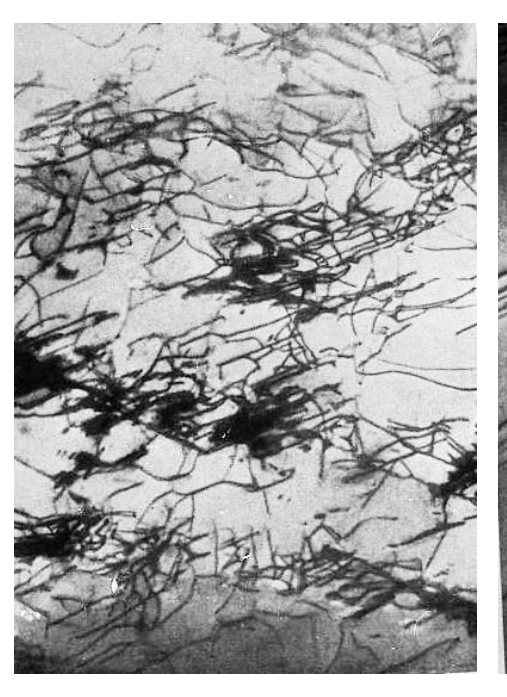
- I)  $\rho_{\perp}$ =10 $^6$ см $^{-2}$  хаотическое распределение дислокаций в отожженном металле,  $\epsilon$ =0%;
- II)  $\rho_{\downarrow}$  = 10<sup>8</sup> см<sup>-2</sup> дислокационные "жгуты", клубки, сплетения,  $\epsilon$  = 5%;
- III)  $\rho_{\perp}$  =  $10^{11}$  cm<sup>-2</sup> дислокационная ячеистая структура с размером ячеек 1 мкм и разворотом  $\epsilon$  = 0,1-1 град.,  $\epsilon$  = 10-20%
- IV) ρ<sub>⊥</sub>=10<sup>13</sup>cм<sup>-2</sup> - дислокационная ячеистая структура с увеличением угла разворота вплоть до образования трещины.

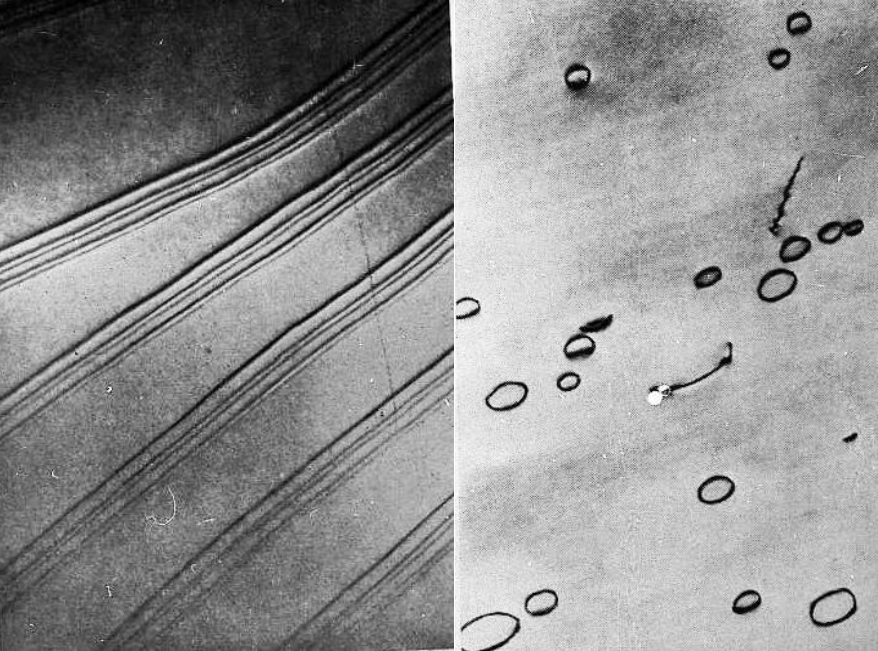
#### Дислокации в кристалле

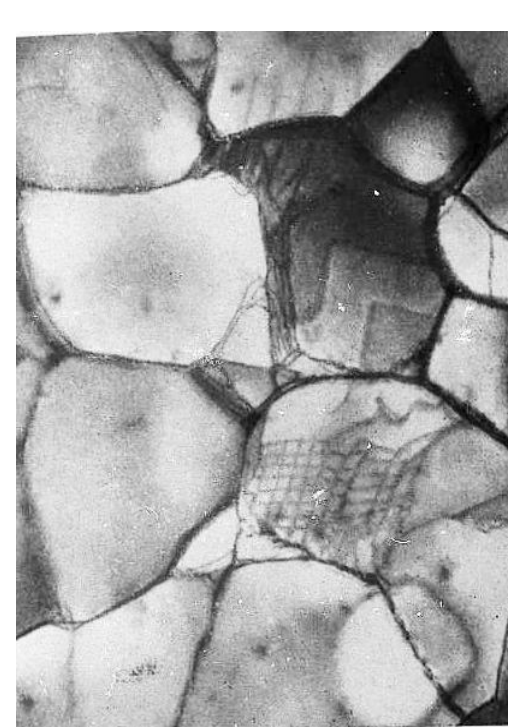




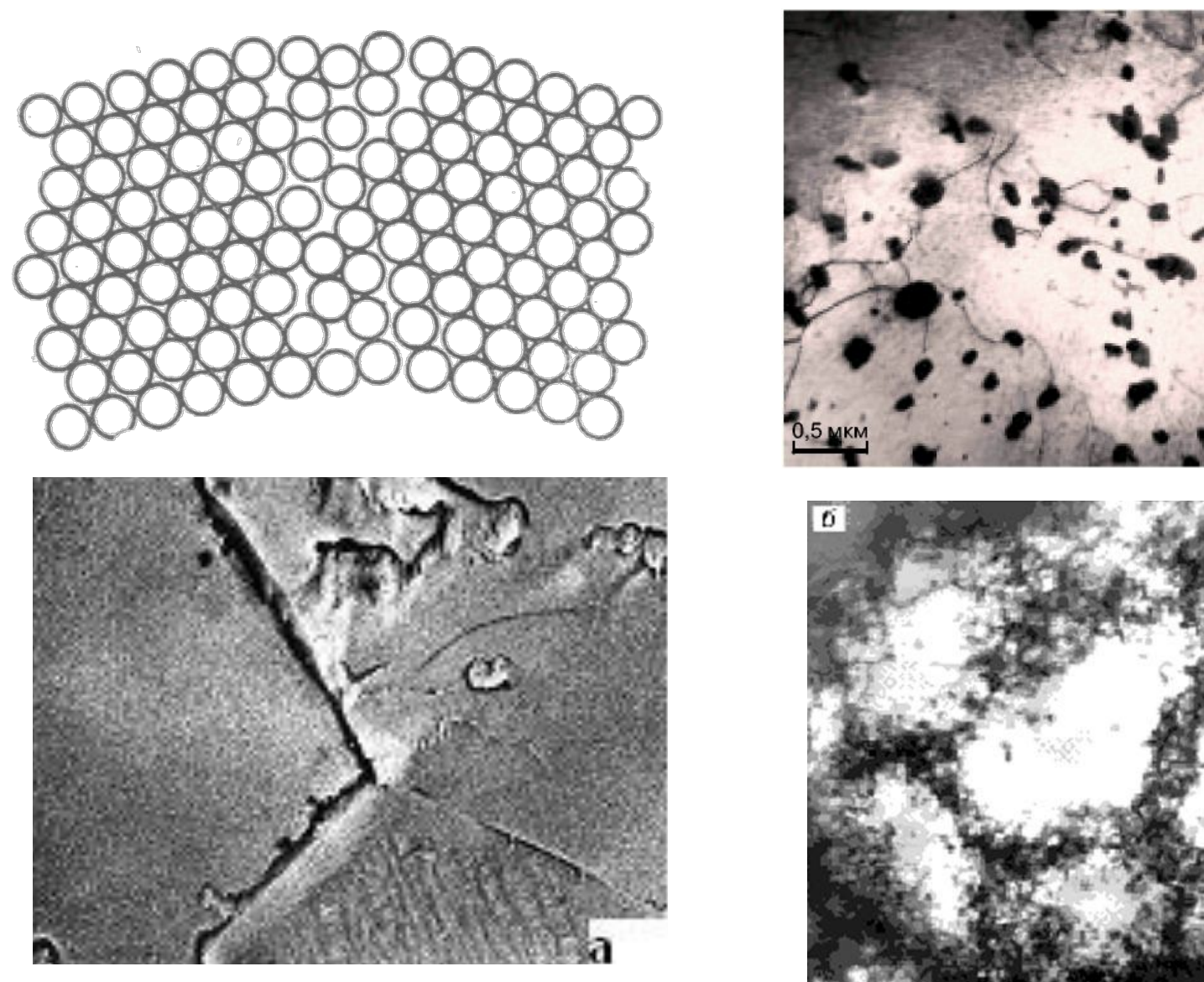




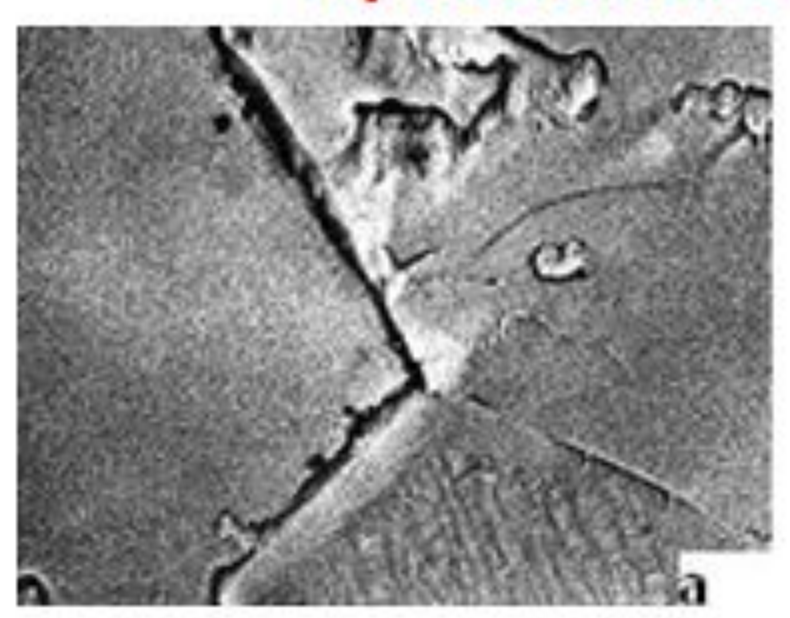


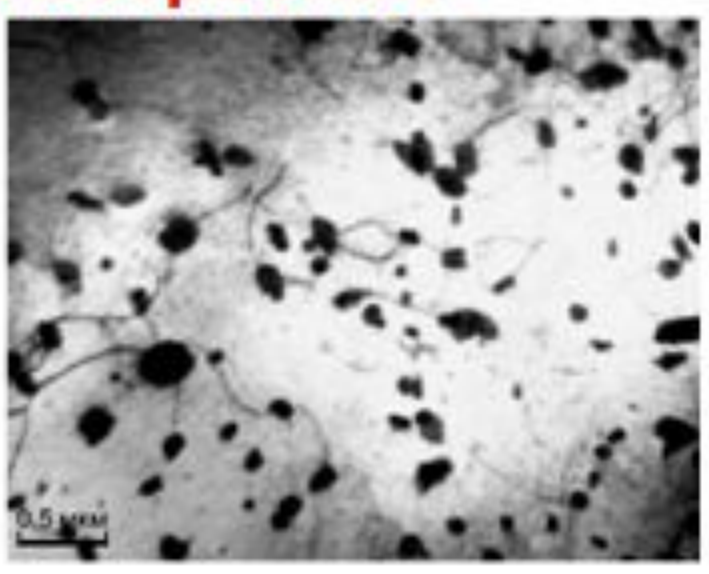


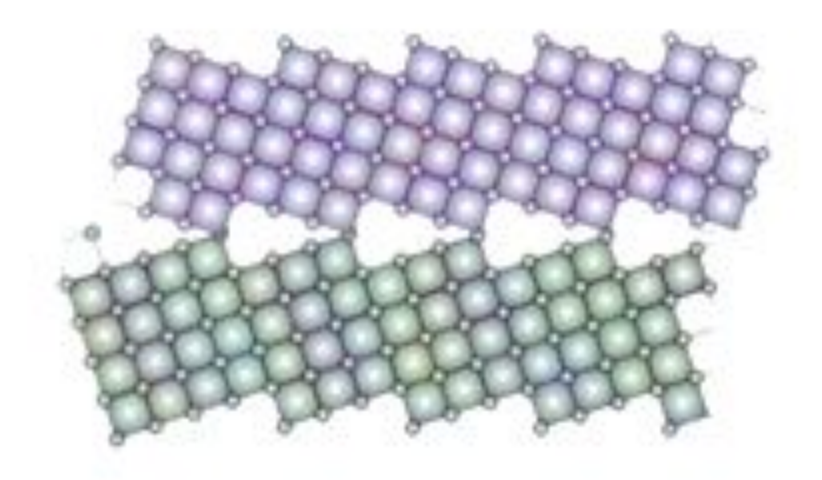
### Поверхностный дефект кристаллического строения

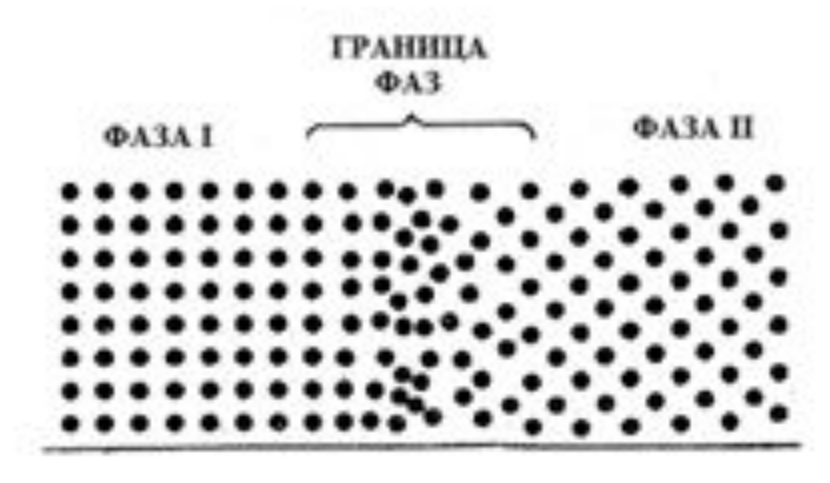


### Поверхностный дефект кристаллического строения









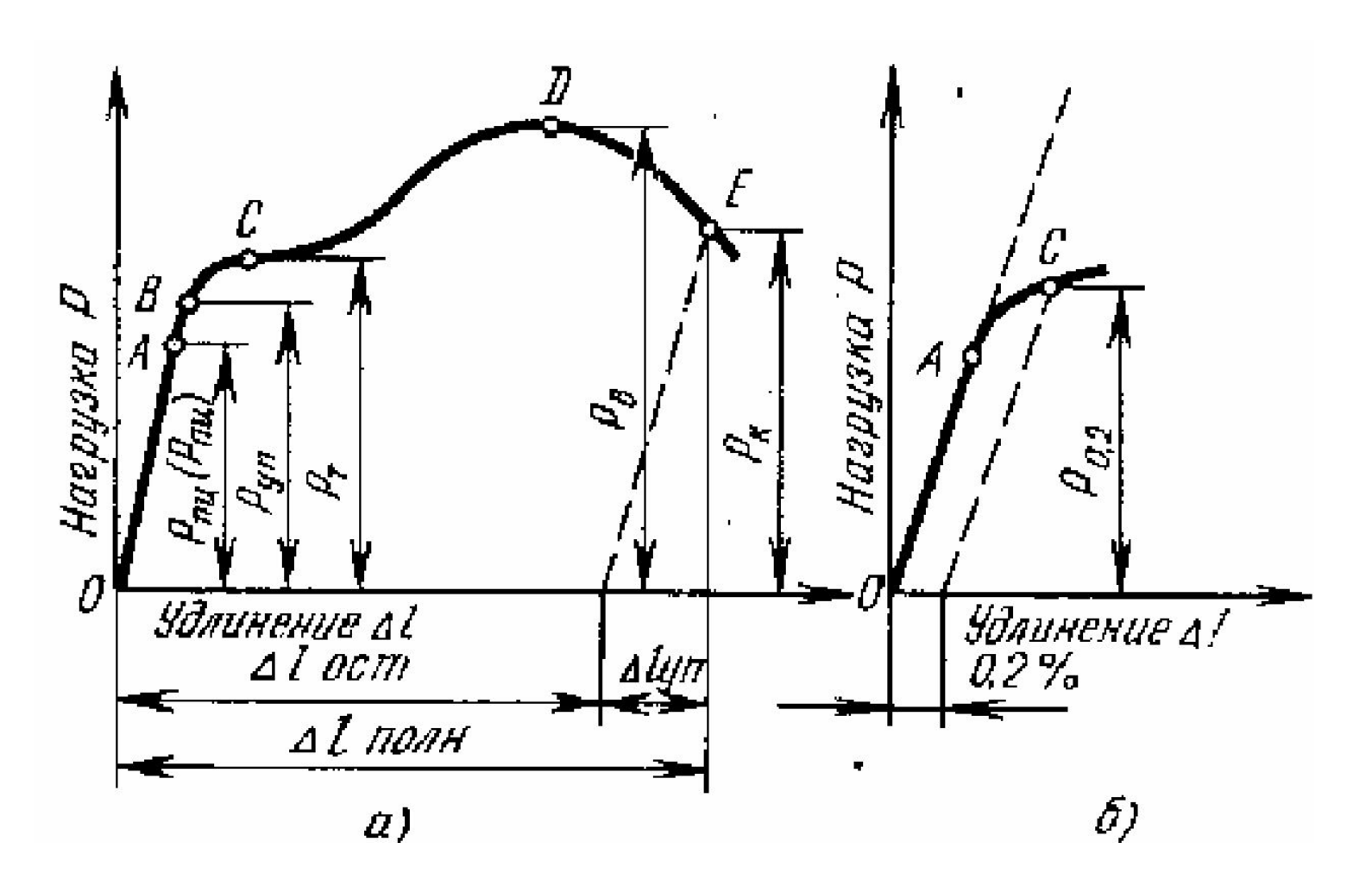
### Объемный дефект кристаллического строения





- Поры в сплаве на основе меди после высокоскоростном нагружении,
- x 13000 (a); x 82000 (б).

# 1.5. Физическая сущность параметров кратковременных механических свойств, получаемых из диаграммы растяжения



# 1.5. Прочность металлов и сплавов как совокупная характеристика влияния структурных уровней.

- На макро-уровне на механические свойства влияет масштабный фактор
- На микро-уровне на механические свойства влияет размер зерна.

$$\sigma_{0,2} = \sigma_0 + K / (\Pi_{3epha})^{1/2}$$

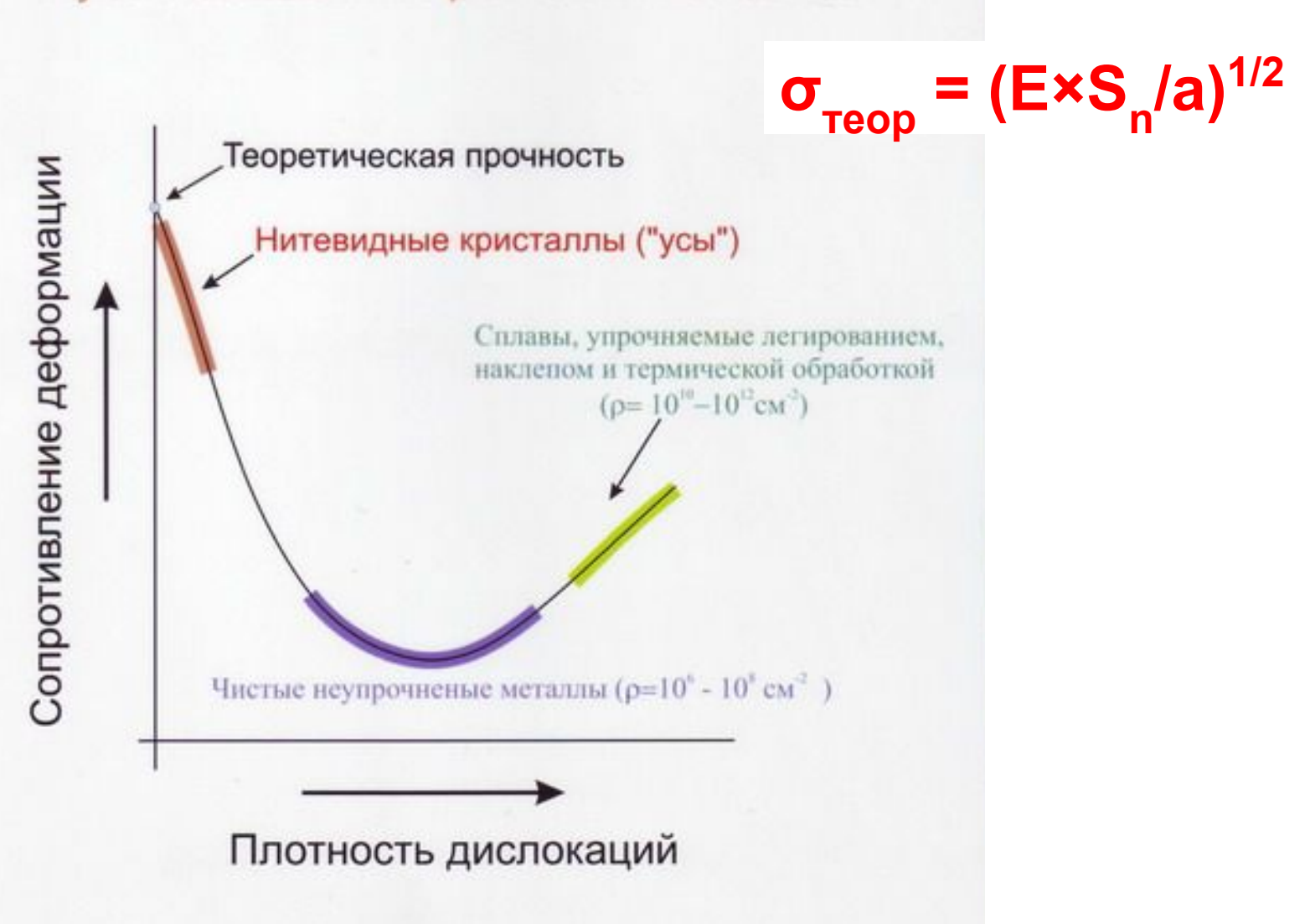
На субмикро-уровне – на механические свойства влияет размер зерна.

- влияние легирования
- влияние второй фазы
- дислокационное упрочнение
- влияние границ раздела

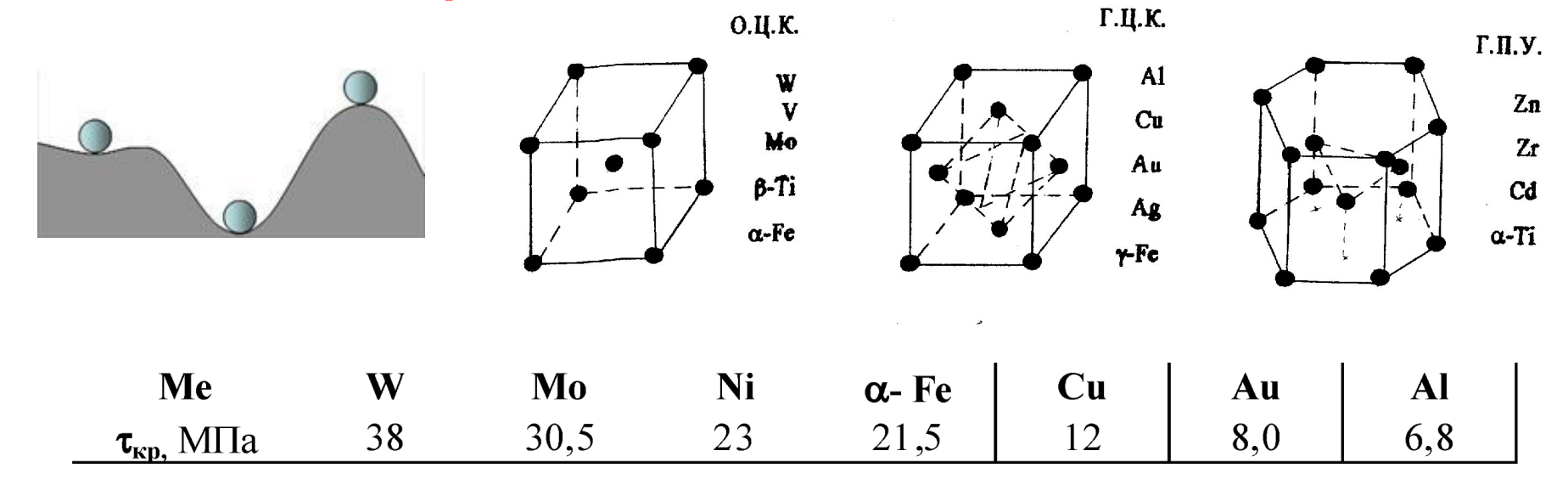
$$\sigma_{\text{reop}} = (E \cdot S_n / a)^{1/2}$$

### Теоретическая прочность

Пути повышения прочности металлов



# Упрочнение, обусловленное силой трения решетки в монокристалле. Напряжение Пайерлса.



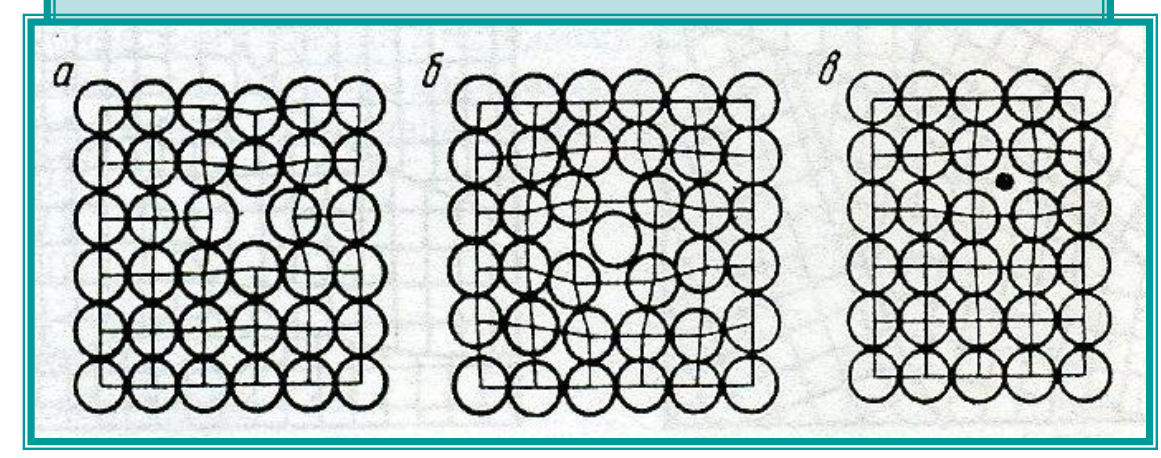


$$\sigma_0 = \tau_{\kappa p} = 2.5 \ 10^{-4} \ G$$

### Твёрдорастворное упрочнение



Точечные дефекты в кристаллической решетке: а) вакансия; б) элемент замещения; в) элемент внедрения



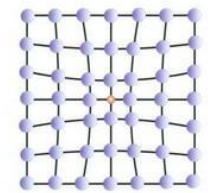
#### Твердые растворы замещения

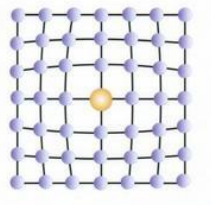
Растворы такого типа образуются путем замены атомов металла - растворителя в его кристаллической решетке атомами растворенного элемента



- Атом растворителя
- Атом растворенного элемента

Искажения кристаллической решетки в твердых растворах замещения





Атом растворяемого элемента Атом растворяемого элемента меньше атома растворителя больше атома растворителя

#### Твердые растворы внедрения

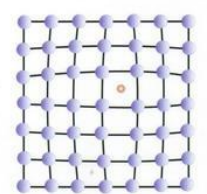
Растворы такого типа образуются путем размещения атомов растворяемого элемента в порах решетки растворителя



- Атом растворителя
- Атом растворенного элемента

Твердые растворы внедрения образуются в случае, когда радиус атома растворенного элемента невелик. Например, при растворении в железе атомов углерода, азота или водорода.

Искажения кристаллической решетки в твердых растворах внедрения



### Значения величин коэффициентов упрочнения для ряда легирующих элементов в железе

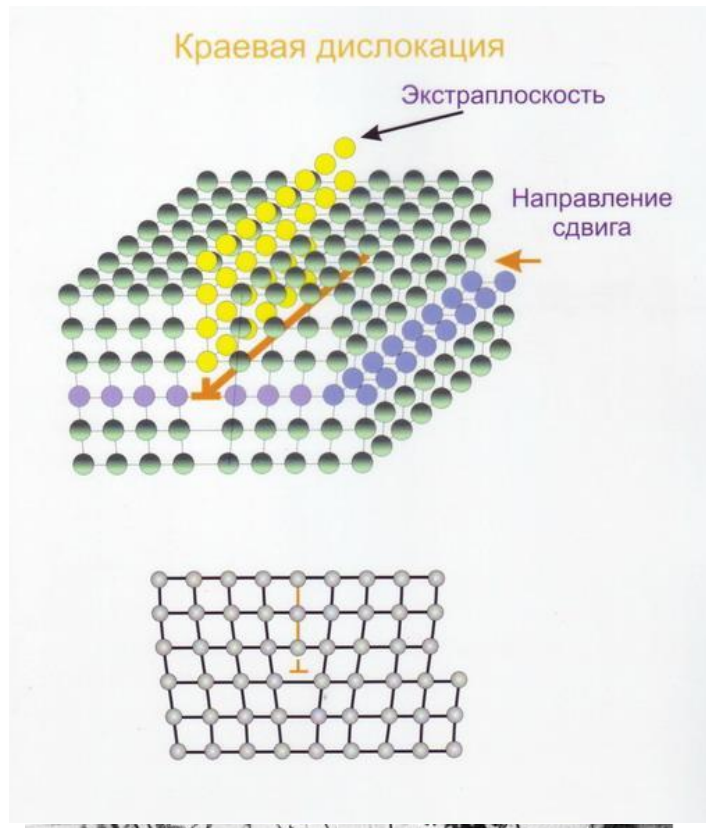
											C, N
$K_{i}$	3	11	30	31	33	39	60	82	86	690	4670

$$\Delta = (dFe - dMe) / dMe$$

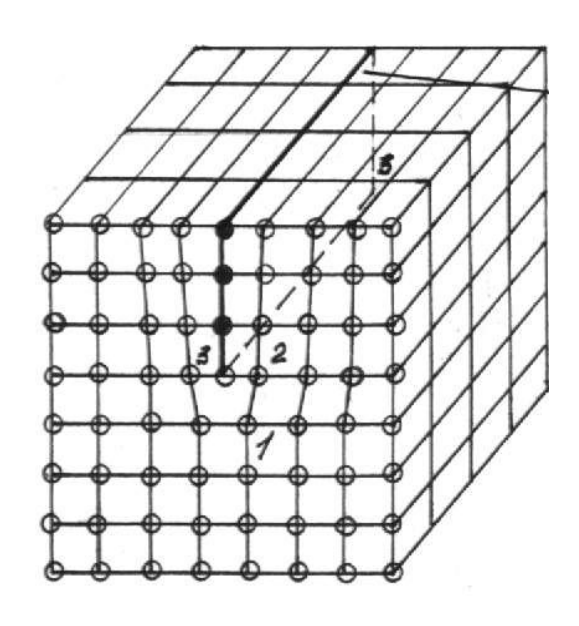
$$\sigma_1 = \sum (K_i \cdot C_i)$$

- где,  $\Delta$  величина размерного несоответствия атомов металлов в твёрдом растворе, d диаметр атома металла,
- **Кі** коэффициент упрочнения сплава і ым легирующим элементом, пропорциональный величине его размерного несоответствия Δі;
  - Сі концентрация содержания в сплаве і-го легирующего элемента.

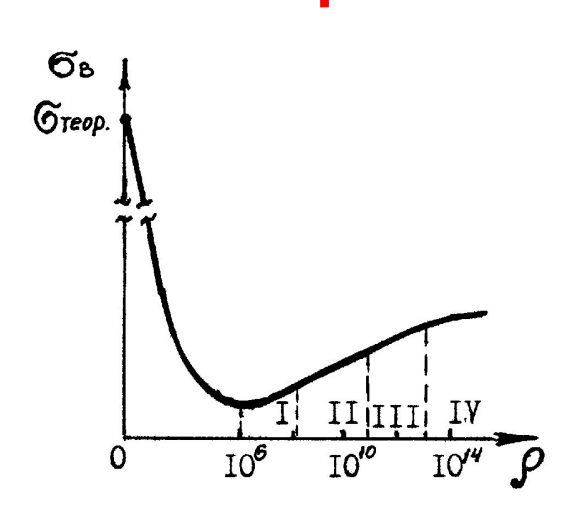
### Дислокационное упрочнение







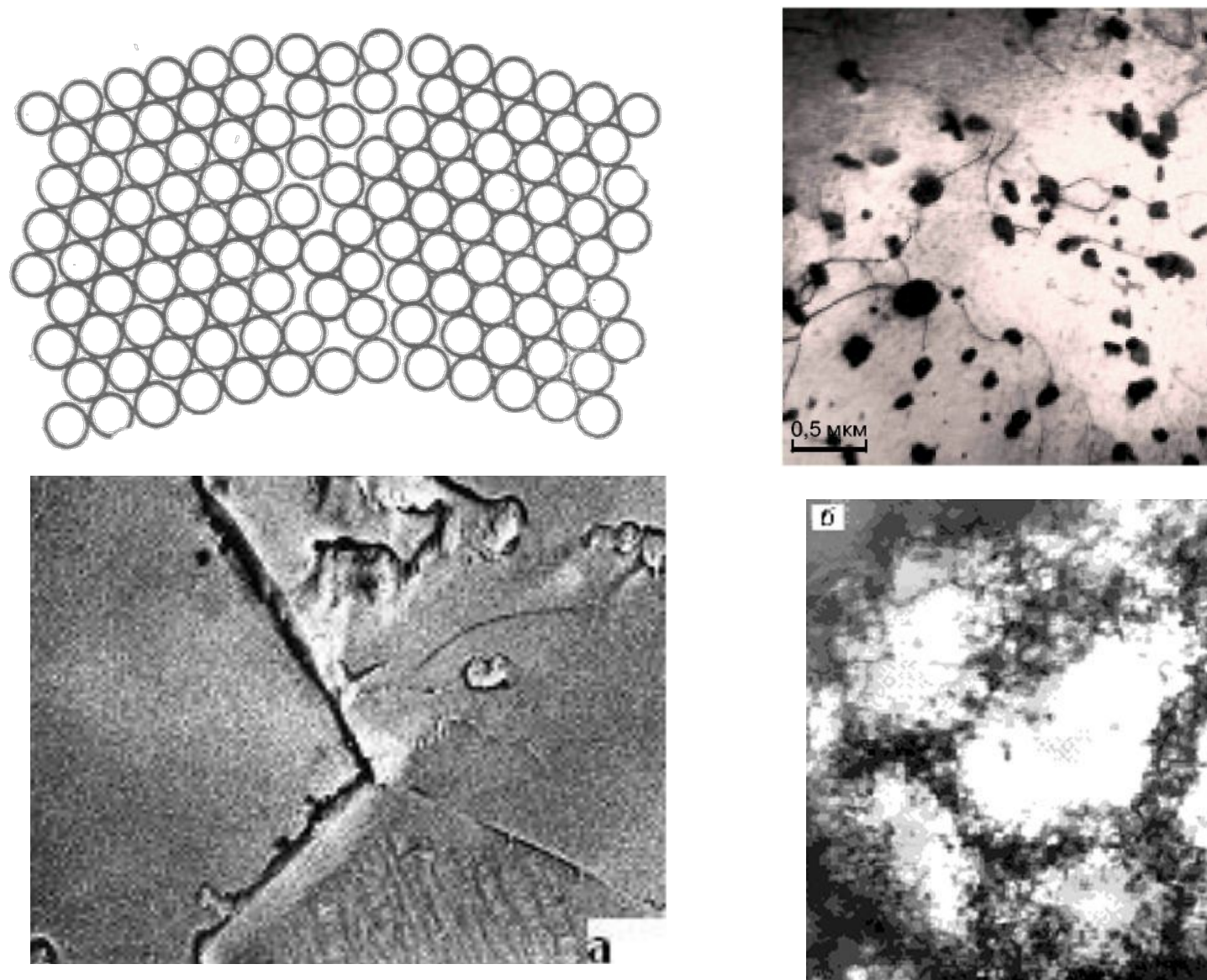
# $\sigma_4 = \alpha \cdot \mathbf{m} \cdot \mathbf{G} \cdot \mathbf{b} \cdot \mathbf{\rho}^{1/2}$



#### Плотность дислокаций

- I)  $\rho_{\perp}$ =10 $^6$ см $^{-2}$  хаотическое распределение дислокаций в отожженном металле,  $\epsilon$ =0%;
- II)  $\rho_{\perp}$  =  $10^8$  см<sup>-2</sup> дислокационные "жгуты", клубки, сплетения,  $\epsilon$  = 5%;
- III)  $\rho_{\perp}$  =  $10^{11}$  cm<sup>-2</sup> Дислокационная ячеистая структура с размером ячеек 1 мкм и разворотом  $\epsilon$  = 0,1-1 град.,  $\epsilon$  = 10-20%
- IV) ρ<sub>\_</sub> =10<sup>13</sup>cм<sup>-2</sup> дислокационная ячеистая структура с увеличением угла разворота вплоть до образования трещины.

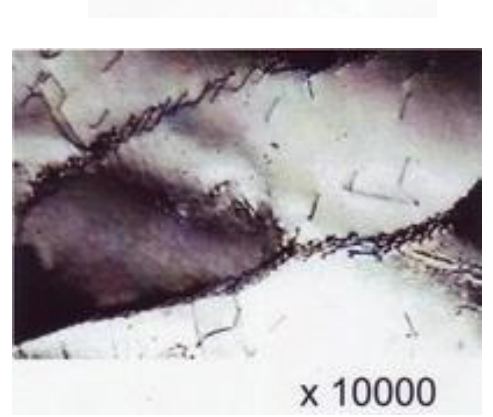
# **Поверхностные дефекты** кристаллического строения



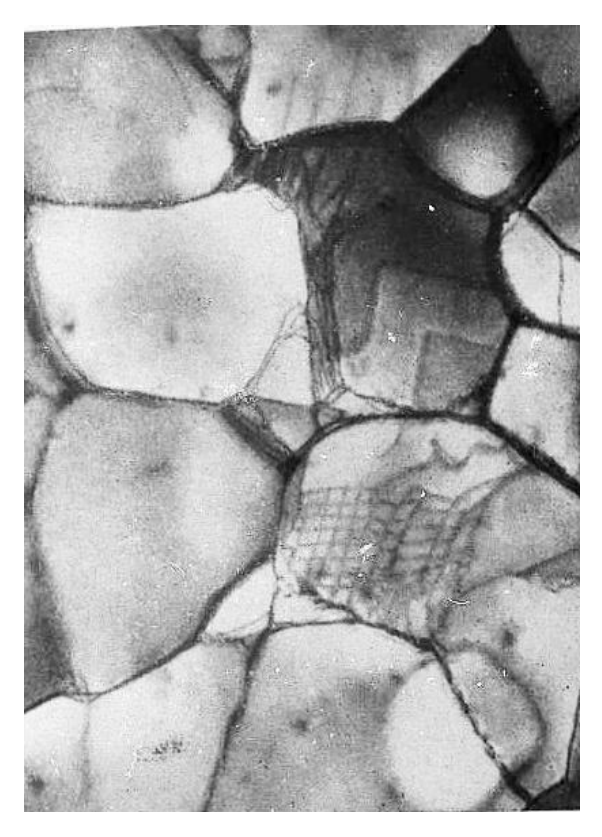
### Субзёренное упрочнение





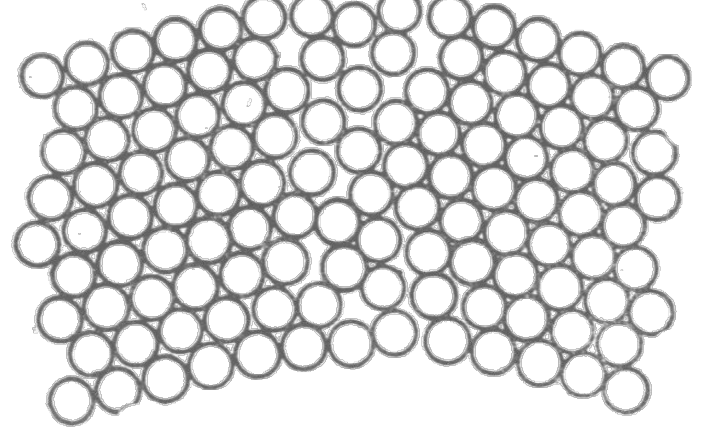






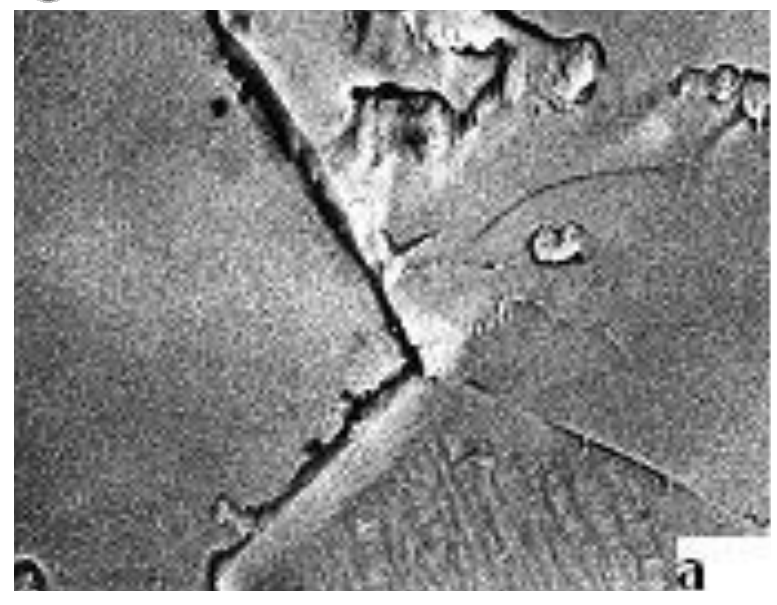
### Зернограничное упрочнение

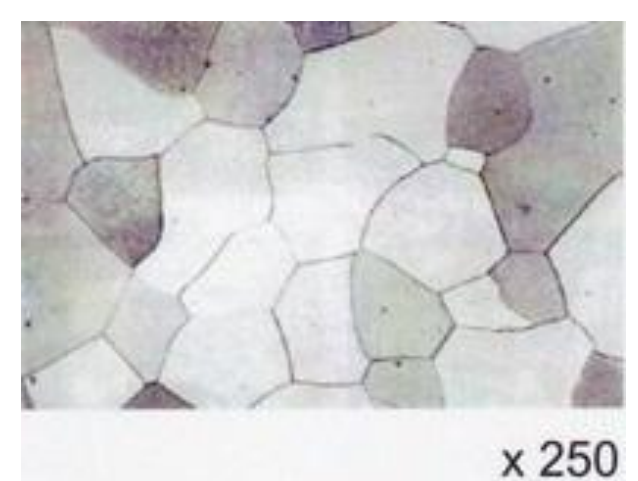
 $\sigma$ 3 = Ky · D -1/2



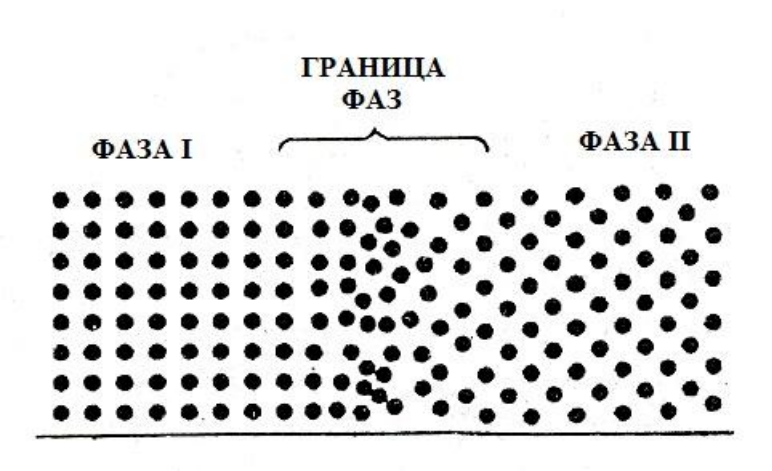
$$\sigma_3 = \mathbf{K} \mathbf{y} \cdot \mathbf{D}^{-1/2}$$





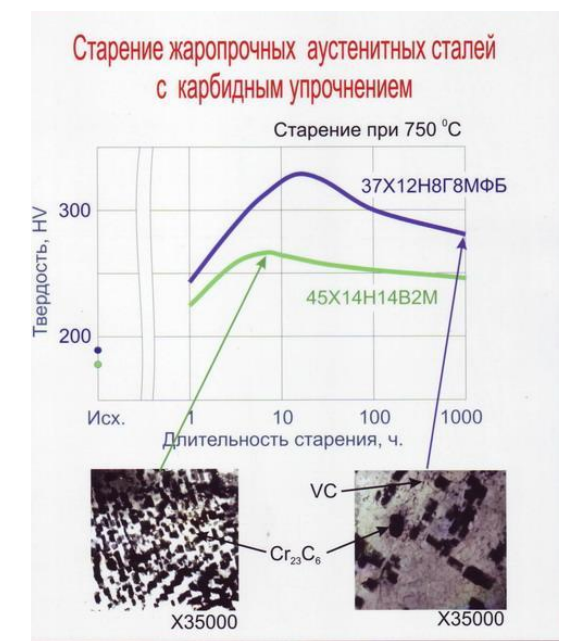


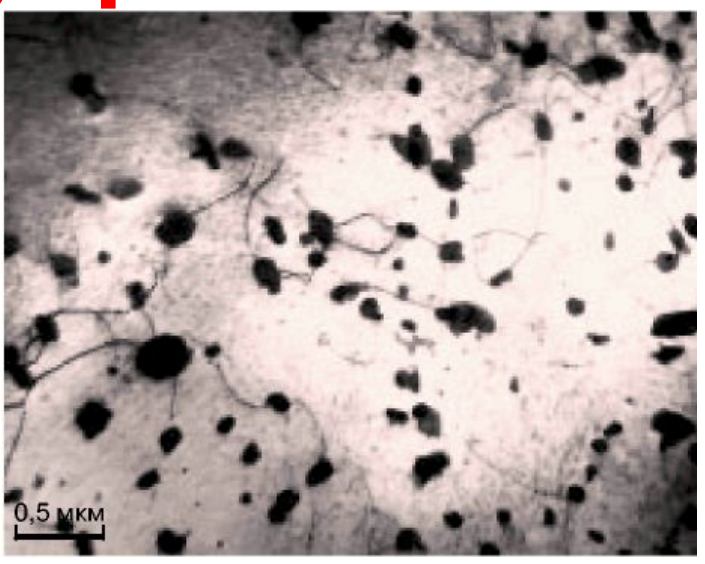
### Дисперсионное упрочнение





#### Жаропрочные аустенитные стали с карбидным упрочнением Эти стали предназначены для работы при 650-750°C и высоких напряжениях Содержание,% Марка стапи другие 45X14H14B2M 0.4 -0.5 13-15 13-15 0,25-0,4 W 2,0-2,7 (ЭИ69) 31X19H9MBБТ 18-20 8-10 W 1,0-1,5 Ti 0,2-0,5 1,0-1,5 37X12H8Г8МФБ 0,34 (ЭИ481) 0,40 40X15H7Г7Ф2МС 0,38-11,5-13,5 14-16 7,5-9,5 1,1-1,4 1,25-1,35 0,45 Si 0,9-1,4 0.65-0.95 1,5-1,9 Термическая обработка: закалка и старение. Основные упрочняющие фазы: в сталях 45X14H14B2M и 31X19H9MBБТ - Me<sub>2</sub>C<sub>6</sub>; в сталях 37X12H8Г8МФБ и 40X15H7Г7Ф2МС- Me. C. и VC Микроструктура стали 37X12Н8Г8МФБ





#### Жаростойкие стали

Под жаростойкими (окалиностойкими) понимают стали, устойчивые к газовой коррозии при высоких температурах.

Основные легирующие элементы, повышающие жаростойкость - *хром, кремний и алюминий*. Хром и алюминий образуют защитные пленки из  $Cr_2O_3$ ,  $Al_2O_3$ ,  $FeO\cdot Cr_2O_3$ ,  $FeO\cdot Al_2O_3$ , а кремний - из  $2FeO\cdot SiO_3$ .

Различают две основных группы сталей:

- 1. Высокохромистые стали, имеющие ферритную структуру: *08X17T*, *15X25T*, *15X28*, *05X25Ю5* и др. Термическая обработка: *нормализация с нагревом* до 760 800° C.
- 2. Хромоникелевые стали с аустенитной структурой: **08X18H9T**, **20X23H18**, **20X25H20C2** и др.

Термическая обработка: закалка от 1100 - 1150°C с охлаждением в воде, масле или на воздухе.

### Механизмы упрочнения стали и сплавов

Nº	Механизм упрочнения	Формула для рас чета	Обозначения	Параметры для рас чета		Вклад в упрочнение	
	<i>y</i> 145 0 1114111111	pue ieiu		Fe	Ti	Fe	Ti
1	Теоретичес кая	$\sigma_{\text{reop}} = (\mathbf{E} \cdot \mathbf{S_n} / \mathbf{a})^{1/2}$	Е - модуль Юнга S <sub>n</sub> -	20000	4380	(спл.) 27000 0	(спл.)
	прочность		поверхностная энергия, н/см а - равновесное межатомное расстояние, см	10 <sub>3</sub> 10 <sup>-8</sup>			
2	Упрочнение	_ 25.404.61	C	94000	4000	16.9	24
	обу сло влен ное силой	$\sigma_0 = 2.5 \cdot 10^{-4} \text{ G}$	G - модуль Сдвига, МПа	84000	4000	16,8 (30)	2 <del>4</del>
	трения		Одини, ини		Ü	(30)	
	решетки (П-						
	Н) в						
	монокриста						
3	лле		К <sub>і</sub> — коэфф уп-				20140111
3	Твердораст ворное	$\sigma_{1} = \sum \mathbf{K_i} \cdot \mathbf{C_i}$	рочнения і-го	см.			замещ 200
	упрочнение		элемента	табл.		(115)	внедр
			Сі – концент-				320
			рация і-го				
	W		элемента	0.5	0.2		2.2
4	Дис локацио нное	$\sigma_2 = \alpha \cdot \mathbf{M}_0 \cdot \mathbf{G} \cdot \mathbf{b} \cdot \mathbf{\rho}^{1/2}$	α- коэффициент	0,5	0,2	(140)	$\begin{array}{ c c c c c c c c c c c c c c c c c c c$
	упрочнение	$\alpha$ ·M·G·n·b	$\mathbf{M}_{0}$ -	2,75		(140)	(р=10)   отпуск
	(затухает в	$\sigma = 1/2\pi$	ориентационны	_,			
	процессе	$\cdot \mathbf{Gb}^2 \mathbf{\rho}^{1/2}$	й множитель	0,2510	2,95		73
	деформации	•	b-вектор	-7			$(\rho=10^{11})$
	)		Бюргерс				)
			ρ- плотность дислокаций				закалк
5	Дисперсион	$\sigma_3 = 0.84 \text{ M}_{0}$	К <sub>л</sub> коэфф.,	1,25		9,8	a
_	ное	$\cdot \mathbf{G} \cdot \mathbf{b} / 2\pi \cdot \mathbf{K}_{\pi} \cdot$	учитывающий			$\cdot 10^2/\lambda$	1,6
	упрочнение	$\ln(\lambda/2b)$	тип дислокаций			·ln(2λ)	(λ=9 <sub>MK</sub>
	частицами	$\sigma_3 = 0.8  \mathbf{G} \cdot \mathbf{b} / \lambda$	λ- расстояние				)
			между	9мкм			
			частицами				

### Механизмы упрочнения стали и сплавов

6	Зернограни чное упрочнение	$\sigma_{4} = Ky \cdot D^{-1/2}$ где $Ky = 0.1 G \cdot b^{1/2}$ $Ky = (6\pi \cdot S_n \cdot G/1 - \mu)^{1/2}$	Ку - коэфф. упрочнения  D- размер зерна  µ - коэфф Пуассона	20H/M M <sup>3/2</sup> 50 MKM	195	закалк а 22 (D=10) 15 (D=20) отжиг 10 (D=50) 6 (D=120
7	Субструкту	$\sigma_{5} = Kc \cdot d^{-m}$ m=0,51,0	<b>Кс -</b> коэфф. учитывающий	0,13 н/мм		80 (d=3)
	упрочнение	<b>σ</b> <sub>5</sub> =	субструктуру	m=1 d=1 мк	0,148/ d	136
		$\alpha \cdot \mathbf{G} \cdot \mathbf{b} \cdot (\mathbf{\omega}/\mathbf{bd})^{1/2}$	d - размер субзерна	M M	u L	(d=1)

#### Контрольные вопросы по Теме 1.

- 1. На каком структурном уровне изучают: строение отдельного атома; дефекты кристаллического строения; размер зерна; внешний вид изделия.
- **2.** С помощью какого метода (оборудования) исследуют: тип кристаллической решетки металла; величину межплоскостных расстояний; излом разрушенного образца; размер зерна; внешний вид изделия.
- 3. Что такое микродифракционная картина?
- **4.** Какой тип кристаллической решётки (ГПУ, ГЦК, ОЦК) имеют металлы (Al Cu Au Zn Zr W V Мо и др.), применяемые в машиностроении.
- **5.** Системы наиболее плотноупакованных плоскостей и направлений в кристаллической решетке ГПУ, ГЦК, ОЦК типа?
- 6. Нарисовать объемную кристаллическую решетку ГПУ, ГЦК, ОЦК типа.
- 7. Перечислить основные дефекты кристаллического строения.
- **8.** Средняя плотность дислокаций в хорошо отожженном недеформированном металле, сильно наклёпанном и среднедеформированном состоянии составляет:
- **9.** Какой точке на диаграмме растяжения соответствует появление: первых дислокаций, остаточной деформации 0,2%, зародышевой микротрещины.
- 10. Перечислить основные факторы, увеличение которых приводит к возрастанию прочностных свойств сплавов.

## Спасибо за внимание